

УДК 532.59

КОЛЕБАНИЯ КРУГОВОГО ЦИЛИНДРА, ПОГРУЖЕННОГО В ЖИДКОСТЬ С НЕОДНОРОДНОЙ ВЕРХНЕЙ ГРАНИЦЕЙ

И. В. Стурова

Институт гидродинамики им. М. А. Лаврентьева СО РАН, 630090 Новосибирск
E-mail: sturova@hydro.nsc.ru

Представлены результаты решения линейной задачи об установившихся колебаниях горизонтального цилиндра, погруженного в жидкость, верхняя граница которой частично закрыта твердой крышкой, при этом оставшаяся часть поверхности является свободной. Используются методы мультиполей и разложения по собственным функциям. Выведены соотношения эквивалентности. Выполнены расчеты коэффициентов присоединенной массы и демпфирования, а также амплитуд волн на свободной поверхности жидкости.

Ключевые слова: линейная теория волн, колебания погруженного цилиндра, неоднородная верхняя граница, метод мультипольных разложений, гидродинамическая нагрузка.

Одной из наиболее хорошо изученных в линейном приближении задач волновой гидродинамики является так называемая задача радиации о волновых движениях в жидкости со свободной поверхностью, вызываемых плавающим или погруженным телом, которое совершает гармонические колебания по заданному закону с малыми амплитудами. Достаточно полные библиографические сведения и описание методов решения радиационной задачи в рамках линейной теории волн приведены в [1]. Однако до сих пор не рассмотрены задачи, в которых верхняя граница является неоднородной, т. е. состоящей из различных участков, например, наряду со свободной поверхностью имеются участки, представляющие собой твердую крышку или упругую пластину.

В данной работе рассматривается наиболее простой случай установившихся колебаний горизонтального кругового цилиндра, погруженного в слой жидкости постоянной толщины. Верхняя граница жидкости закрыта полубесконечной твердой крышкой с прямолинейным краем, а оставшаяся часть поверхности является свободной. Ось цилиндра параллельна краю твердой крышки, поэтому данная задача является двумерной. Используется метод мультипольных разложений, что позволяет получить наиболее точное решение для кругового цилиндра [1]. Определены зависимости коэффициентов гидродинамической нагрузки (присоединенной массы и демпфирования) и амплитуд вертикальных смещений свободной поверхности от частоты колебаний цилиндра и его положения относительно края твердой крышки.

1. Постановка задачи. Рассматривается идеальная несжимаемая жидкость, заполняющая безграничный в горизонтальном направлении слой толщиной H . Волновые движения в первоначально покоящейся жидкости создаются вынужденными колебаниями по-

груженного кругового контура радиусом a с частотой ω и малыми амплитудами $\eta_{1,2}$ соответственно для горизонтальной и вертикальной степеней свободы. Считая возмущенное движение жидкости установившимся и потенциальным, выражение для полного потенциала скоростей волнового движения запишем в виде

$$\Phi(x, y, t) = \operatorname{Re} \left(i\omega \sum_{j=1}^2 \eta_j \varphi_j(x, y) \exp(i\omega t) \right), \quad (1.1)$$

где $\varphi_j(x, y)$ — комплексные радиационные потенциалы; x — горизонтальная ось, направленная вдоль невозмущенной верхней границы жидкости; y — вертикальная ось, проходящая через центр кругового контура; t — время. На верхней границе жидкости ($y = 0$) твердая крышка занимает область $c < x < \infty$, а свободная поверхность — область $-\infty < x < c$.

Внутри жидкости выполняется уравнение Лапласа

$$\Delta \varphi_j = 0 \quad (-\infty < x < \infty, \quad -H < y < 0). \quad (1.2)$$

В области свободной поверхности граничное условие имеет вид

$$\frac{\partial \varphi_j}{\partial y} = K \varphi_j \quad (-\infty < x < c, \quad y = 0), \quad K = \frac{\omega^2}{g}, \quad (1.3)$$

где g — ускорение свободного падения, а в области, ограниченной сверху твердой крышкой, — вид

$$\frac{\partial \varphi_j}{\partial y} = 0 \quad (c < x < \infty, \quad y = 0). \quad (1.4)$$

На круговом контуре $S: x^2 + (y + h)^2 = a^2$ ставится условие непротекания

$$\frac{\partial \varphi_j}{\partial n} = n_j \quad (x, y \in S, \quad j = 1, 2), \quad (1.5)$$

где $\mathbf{n} = (n_1, n_2)$ — внутренняя нормаль к контуру S ; h — расстояние между центром цилиндра и верхней границей жидкости ($h > a$). На ровном горизонтальном дне выполняется условие

$$\frac{\partial \varphi_j}{\partial y} = 0 \quad (-\infty < x < \infty, \quad y = -H). \quad (1.6)$$

В дальнейшем поле следует потребовать выполнения условия излучения, которое означает, что генерируемые волны являются расходящимися.

Вертикальные возвышения свободной поверхности $W(x, t)$ определяются из соотношения

$$\frac{\partial W}{\partial t} = \frac{\partial \Phi}{\partial y} \Big|_{y=0}.$$

По аналогии с представлением (1.1) выражение для $W(x, t)$ целесообразно записать в виде

$$W(x, t) = \operatorname{Re} \left(\sum_{j=1}^2 \eta_j w_j(x) \exp(i\omega t) \right),$$

где коэффициенты

$$w_j(x) = \frac{\partial \varphi_j}{\partial y} \Big|_{y=0} \quad (1.7)$$

представляют собой комплексные функции, позволяющие определить амплитуды колебаний свободной поверхности по отношению к амплитуде колебаний погруженного тела.

Далее ограничимся случаями, когда цилиндр полностью расположен либо под твердой крышкой ($c < -a$), либо под свободной поверхностью ($c > a$).

2. Метод мультиполюных разложений. Для решения задачи (1.2)–(1.6) используется метод мультиполюных разложений [1], который является наиболее эффективным при исследовании тел простой геометрии: в двумерном случае — круга, в трехмерном — сферы. Четные и нечетные по x мультиполи $\cos(m\theta)/r^m$ и $\sin(m\theta)/r^m$, где $r = \sqrt{x^2 + (y+h)^2}$; $\theta = \operatorname{arctg}[x/(y+h)]$, являются фундаментальными решениями уравнения Лапласа и сингулярны в точке $x = 0, y = -h$. Используя интегральные представления

$$\frac{\cos(m\theta)}{r^m} = \begin{cases} \frac{1}{(m-1)!} \int_0^\infty k^{m-1} e^{-k(h+y)} \cos(kx) dk, & y > -h, \\ \frac{(-1)^m}{(m-1)!} \int_0^\infty k^{m-1} e^{k(h+y)} \cos(kx) dk, & y < -h, \end{cases}$$

$$\frac{\sin(m\theta)}{r^m} = \begin{cases} \frac{1}{(m-1)!} \int_0^\infty k^{m-1} e^{-k(h+y)} \sin(kx) dk, & y > -h, \\ \frac{(-1)^{m+1}}{(m-1)!} \int_0^\infty k^{m-1} e^{k(h+y)} \sin(kx) dk, & y < -h, \end{cases}$$

для каждого мультиполя можно записать решения в случае конечного слоя жидкости, ограниченного снизу горизонтальным дном ($y = -H$), а сверху ($y = 0$) — бесконечно протяженной твердой крышкой либо свободной поверхностью.

Для бесконечно протяженной твердой крышки четные по x решения имеют вид

$$R_m(x, y) = \frac{\cos(m\theta)}{r^m} + \frac{1}{(m-1)!} \int_0^\infty \frac{k^{m-1} \cos(kx)}{1 - e^{-2kH}} [A(k, y) + (-1)^m B(k, y)] dk, \quad (2.1)$$

а нечетные по x решения равны

$$Q_m(x, y) = \frac{\sin(m\theta)}{r^m} + \frac{1}{(m-1)!} \int_0^\infty \frac{k^{m-1} \sin(kx)}{1 - e^{-2kH}} [A(k, y) - (-1)^m B(k, y)] dk, \quad (2.2)$$

где

$$A(k, y) = e^{-kh} [e^{ky} + e^{-k(y+2H)}], \quad B(k, y) = 2e^{k(h-2H)} \operatorname{ch}(ky).$$

Для бесконечно протяженной свободной поверхности решения имеют более сложный вид. Четные по x решения равны

$$P_m(x, y) = \frac{\cos(m\theta)}{r^m} + \frac{1}{(m-1)!} \left(\operatorname{pv} \int_0^\infty \frac{F(k, x, y)}{Z(k)} dk - i\pi \frac{F(k_0, x, y)}{Z'(k_0)} \right), \quad (2.3)$$

где

$$F(k, x, y) = \frac{k^{m-1} \cos(kx)}{1 + e^{-2kH}} [C(k, y) + (-1)^m D(k, y)],$$

$$C(k, y) = e^{-kh} (k + K) (e^{ky} + e^{-k(y+2H)}), \quad D(k, y) = 2e^{k(h-2H)} (k \operatorname{ch}(ky) + K \operatorname{sh}(ky)),$$

$$Z(k) = k \operatorname{th}(kH) - K, \quad Z'(k_0) \equiv \left. \frac{dZ}{dk} \right|_{k=k_0}, \quad (2.4)$$

pv — интеграл в смысле главного значения. Подынтегральное выражение в (2.3) всегда имеет простой полюс в точке $k = k_0$, которая определяется при решении уравнения $Z(k) = 0$, что равносильно дисперсионному соотношению для поверхностных волн в жидкости конечной глубины. При выводе соотношения (2.3) использовано условие излучения.

Нечетные по x решения имеют вид

$$T_m(x, y) = \frac{\sin(m\theta)}{r^m} + \frac{1}{(m-1)!} \left(\text{pv} \int_0^\infty \frac{G(k, x, y)}{Z(k)} dk - i\pi \frac{G(k_0, x, y)}{Z'(k_0)} \right), \quad (2.5)$$

где

$$G(k, x, y) = \frac{k^{m-1} \sin(kx)}{1 + e^{-2kH}} [C(k, y) - (-1)^m D(k, y)].$$

Для построения решения в случае неоднородной верхней границы область, занятую жидкостью, следует разделить на две подобласти: Γ_1 ($-\infty < x < c$, $-H < y < 0$) и Γ_2 ($c < x < \infty$, $-H < y < 0$). Радиационные потенциалы $\varphi_j(x, y)$ далее обозначены $\varphi_j^{(1)}(x, y)$ и $\varphi_j^{(2)}(x, y)$ соответственно для подобластей Γ_1 и Γ_2 . Различные случаи расположения цилиндра: под твердой крышкой (случай 1) или под свободной поверхностью (случай 2) — в настоящей работе рассматриваются отдельно.

3. Случай 1 (цилиндр под твердой крышкой). В данном случае $c < -a$ и решение для радиационного потенциала $\varphi_j^{(1)}(x, y)$ можно искать в виде разложения по собственным функциям

$$\begin{aligned} \varphi_j^{(1)} = \sum_{m=1}^{\infty} a^m \left[p_m \left(U_{0m} e^{ik_0(x-c)} \psi_0(y) + \sum_{n=1}^{\infty} U_{nm} e^{kn(x-c)} \psi_n(y) \right) + \right. \\ \left. + q_m \left(V_{0m} e^{ik_0(x-c)} \psi_0(y) + \sum_{n=1}^{\infty} V_{nm} e^{kn(x-c)} \psi_n(y) \right) \right], \quad (3.1) \end{aligned}$$

где

$$\psi_0(y) = \frac{\text{ch}(k_0(y+H))}{\sqrt{\Lambda_0}}, \quad \Lambda_0 = \int_{-H}^0 \text{ch}^2(k_0(y+H)) dy = \frac{1}{2} \left(H + \frac{K}{k_0^2 - K^2} \right); \quad (3.2)$$

$$\psi_n(y) = \frac{\cos(k_n(y+H))}{\sqrt{\Lambda_n}}, \quad \Lambda_n = \int_{-H}^0 \cos^2(k_n(y+H)) dy = \frac{1}{2} \left(H - \frac{K}{k_0^2 + K^2} \right). \quad (3.3)$$

Значения k_n определяются как вещественные положительные корни уравнения

$$k_n \text{tg}(k_n H) + K = 0 \quad (n = 1, 2, 3, \dots).$$

Система функций $\psi_n(y)$ ($n = 0, 1, 2, \dots$) является полной и ортонормированной, а значения k_n при $n \geq 1$ удовлетворяют неравенствам

$$(n-1)\pi/H < k_n < n\pi/H.$$

Решение для радиационных потенциалов $\varphi_j^{(2)}(x, y)$ с учетом (2.1) и (2.2) будем искать в виде

$$\varphi_j^{(2)} = \sum_{m=1}^{\infty} a^m \left[p_m \left(R_m(x, y) + \sum_{n=1}^{\infty} X_{nm} e^{n\pi(c-x)/H} f_n(y) \right) + q_m \left(Q_m(x, y) + \sum_{n=1}^{\infty} Y_{nm} e^{n\pi(c-x)/H} f_n(y) \right) \right], \quad (3.4)$$

где

$$f_n(y) = \sqrt{\frac{2}{H}} \cos\left(\frac{n\pi}{H}(y+H)\right) \quad (n = 1, 2, 3, \dots). \quad (3.5)$$

Система функций $f_n(y)$ также является полной и ортонормированной.

Неизвестные комплексные постоянные $U_{nm}, V_{nm}, X_{nm}, Y_{nm}$ определяются из условий согласования на границе подобластей Γ_1 и Γ_2

$$\varphi_j^{(1)} = \varphi_j^{(2)}, \quad \frac{\partial \varphi_j^{(1)}}{\partial x} = \frac{\partial \varphi_j^{(2)}}{\partial x} \quad (x = c, \quad -H < y < 0). \quad (3.6)$$

Эти условия означают непрерывность давления и горизонтальной скорости на указанной границе. Приведенные выше постоянные вычисляются для каждого номера m и не зависят от типа колебаний цилиндра. Для того чтобы было выполнено первое условие в (3.6), выражения в квадратных скобках (3.1) и (3.4) умножаются последовательно на $f_l(y)$ ($l = 1, 2, 3, \dots$) и интегрируются по y от $-H$ до 0. Для того чтобы было выполнено второе равенство в (3.6), следует продифференцировать соответствующие выражения по x и провести интегральную склейку, используя функции $\psi_n(y)$ ($n = 0, 1, 2, \dots$). В результате для определения неизвестных постоянных $U_{nm}, V_{nm}, X_{nm}, Y_{nm}$ получается система линейных алгебраических уравнений.

После определения указанных постоянных неизвестные комплексные постоянные p_m и q_m в (3.1), (3.4) находятся из граничного условия (1.5) на поверхности кругового контура S , причем они зависят от номера j , т. е. от типа колебаний цилиндра.

Для учета граничного условия (1.5) используется известное соотношение [1]

$$\exp[k(ix \pm y \pm h)] = \sum_{l=0}^{\infty} \frac{(\pm kr)^l}{l!} \exp(\pm il\theta), \quad (3.7)$$

с помощью которого можно записать

$$\frac{\partial R_m}{\partial r} = -\frac{m \cos(m\theta)}{r^{m+1}} + \frac{1}{(m-1)!} \sum_{l=1}^{\infty} \frac{r^{l-1}}{(l-1)!} I_{ml}^+ \cos(l\theta); \quad (3.8)$$

$$\frac{\partial Q_m}{\partial r} = -\frac{m \sin(m\theta)}{r^{m+1}} + \frac{1}{(m-1)!} \sum_{l=1}^{\infty} \frac{r^{l-1}}{(l-1)!} I_{ml}^- \sin(l\theta), \quad (3.9)$$

где

$$I_{ml}^{\pm} = \int_0^{\infty} \frac{k^{m+l-1}}{1 - e^{-2kH}} \left[e^{-2kh} \pm e^{-2kH} \left((-1)^m + (-1)^l \pm (-1)^{m+l} e^{2kh} \right) \right] dk.$$

С использованием (3.8) и (3.9) из (3.4) вычисляется значение производной $\partial \varphi_j^{(2)}(x, y) / \partial r$ при $r = a$. Умножая полученное соотношение последовательно на $\sin(\alpha\theta)$ и $\cos(\alpha\theta)$ при $\alpha = 1, 2, 3, \dots$ и интегрируя по θ от 0 до 2π , получаем систему линейных алгебраических уравнений для определения постоянных p_m и q_m в (3.1), (3.4).

Значения относительных возвышений свободной поверхности нетрудно определить из (1.7) с учетом (3.1). В дальнейшем поле существует только уходящая от тела волна с волновым числом k_0 , определяемая соотношением

$$w_j = E_j e^{ik_0(x-c)} \quad (x \rightarrow -\infty),$$

где

$$E_j = \frac{k_0}{\sqrt{\Lambda_0}} \operatorname{sh}(k_0 H) \sum_{m=1}^{\infty} a^m (p_m U_{0m} + q_m V_{0m}).$$

Вдали от цилиндра значения потенциалов равны

$$\varphi_j^{(1)} = E_j \frac{\psi_0(y) \sqrt{\Lambda_0}}{k_0 \operatorname{sh}(k_0 H)} e^{ik_0(x-c)} \quad (x \rightarrow -\infty), \quad \varphi_j^{(2)} = 0 \quad (x \rightarrow \infty).$$

Аналогично решается задача и в том случае, когда цилиндр расположен в подобласти Γ_1 .

4. Случай 2 (цилиндр под свободной поверхностью). В данном случае $c > a$ и решение для радиационных потенциалов $\varphi_j^{(1)}(x, y)$ с учетом (2.3), (2.5), (3.2), (3.3) можно записать в виде

$$\begin{aligned} \varphi_j^{(1)} = \sum_{m=1}^{\infty} a^m \left[p_m \left(P_m(x, y) + U_{0m} e^{ik_0(x-c)} \psi_0(y) + \sum_{n=1}^{\infty} U_{nm} e^{kn(x-c)} \psi_n(y) \right) + \right. \\ \left. + q_m \left(T_m(x, y) + V_{0m} e^{ik_0(x-c)} \psi_0(y) + \sum_{n=1}^{\infty} V_{nm} e^{kn(x-c)} \psi_n(y) \right) \right]. \end{aligned} \quad (4.1)$$

Решение для радиационных потенциалов $\varphi_j^{(2)}(x, y)$ с учетом (3.5) будем искать в виде

$$\varphi_j^{(2)} = \sum_{m=1}^{\infty} a^m \left(p_m \sum_{n=1}^{\infty} X_{nm} e^{n\pi(c-x)/H} f_n(y) + q_m \sum_{n=1}^{\infty} Y_{nm} e^{n\pi(c-x)/H} f_n(y) \right). \quad (4.2)$$

Неизвестные постоянные U_{nm} , V_{nm} , X_{nm} , Y_{nm} находим из условий согласования (3.6) так же, как в п. 3.

Постоянные p_m и q_m в (4.1), (4.2) определяются следующим образом. С использованием (3.7) получаем

$$\frac{\partial P_m}{\partial r} = -\frac{m \cos(m\theta)}{r^{m+1}} + \frac{1}{(m-1)!} \sum_{l=1}^{\infty} \frac{r^{l-1}}{(l-1)!} J_{ml}^+ \cos(l\theta); \quad (4.3)$$

$$\frac{\partial T_m}{\partial r} = -\frac{m \sin(m\theta)}{r^{m+1}} + \frac{1}{(m-1)!} \sum_{l=1}^{\infty} \frac{r^{l-1}}{(l-1)!} J_{ml}^- \sin(l\theta), \quad (4.4)$$

где

$$J_{ml}^{\pm} = \operatorname{pv} \int_0^{\infty} \frac{L_{ml}^{\pm}(k) dk}{Z(k)} - i\pi \frac{L_{ml}^{\pm}(k_0)}{Z'(k_0)},$$

$$\begin{aligned} L_{ml}^{\pm}(k) = \frac{k^{m+l-1}}{1 + e^{-2kH}} \left[(k+K) (e^{-2kh} \pm (-1)^m e^{-2kH}) \pm \right. \\ \left. \pm (-1)^l e^{-2kH} (k+K \pm (-1)^m (k-K) e^{-2kh}) \right]. \end{aligned}$$

Функция $Z(k)$ определена в (2.4).

С использованием (4.3) и (4.4) из (4.1) вычисляется значение производной $\partial\varphi_j^{(1)}(x, y)/\partial r$ при $r = a$. Умножая полученное соотношение последовательно на $\sin(\alpha\theta)$ и $\cos(\alpha\theta)$ при $\alpha = 1, 2, 3, \dots$ и интегрируя по θ от 0 до 2π , получаем систему линейных алгебраических уравнений для определения постоянных p_m и q_m в (4.1), (4.2).

Значения относительных возвышений свободной поверхности определяются из (1.7) с учетом (4.1). В дальнейшем поле аналогично случаю 1 существует только уходящая от тела волна с волновым числом k_0 , определяемая соотношением

$$w_j = E_j e^{ik_0 x} \quad (x \rightarrow -\infty), \quad (4.5)$$

где

$$E_j = k_0 \sum_{m=1}^{\infty} a^m \left[p_m \left(\frac{U_{0m}}{\sqrt{\Lambda_0}} \operatorname{sh}(k_0 H) e^{-ik_0 c} - \frac{iD_m^+(k_0)}{Z'(k_0)} \right) + \right. \\ \left. + q_m \left(\frac{V_{0m}}{\sqrt{\Lambda_0}} \operatorname{sh}(k_0 H) e^{-ik_0 c} - \frac{D_m^-(k_0)}{Z'(k_0)} \right) \right],$$

$$D_m^{\pm}(k) = \frac{2\pi K k^m}{(m-1)!(1+e^{-2kH})} [e^{-kh} \pm (-1)^m e^{k(h-2H)}].$$

Вдали от цилиндра значения потенциалов равны

$$\varphi_j^{(1)} = E_j \frac{\psi_0(y)\sqrt{\Lambda_0}}{k_0 \operatorname{sh}(k_0 H)} e^{ik_0 x} \quad (x \rightarrow -\infty), \quad \varphi_j^{(2)} = 0 \quad (x \rightarrow \infty).$$

5. Гидродинамическая нагрузка и соотношения эквивалентности. Определив все неизвестные постоянные, можно вычислить действующие на погруженное тело радиационные силы $\mathbf{F} = (F_1, F_2)$, выражения для которых без учета гидростатической составляющей обычно записываются в матричной форме:

$$F_k = \sum_{j=1}^2 \eta_j \tau_{kj} \quad (k = 1, 2), \\ \tau_{kj} = \rho\omega^2 \int_S \varphi_j n_k ds = \omega^2 \mu_{kj} - i\omega \lambda_{kj}.$$

Здесь коэффициенты τ_{kj} представляют собой комплексную силу, действующую в направлении k и обусловленную синусоидальным движением тела с единичной амплитудой в направлении j ; μ_{kj} — коэффициенты присоединенных масс; λ_{kj} — коэффициенты демпфирования.

Применяя тождество Грина для области жидкости вне погруженного тела, можно получить соотношения эквивалентности, используемые для контроля точности численных расчетов. Пусть $\vartheta(x, y)$ и $\chi(x, y)$ — функции, удовлетворяющие уравнению (1.2), граничным условиям (1.3), (1.4), (1.6) и условию излучения. Учитывая, что при $x \rightarrow \infty$ движение жидкости отсутствует, получаем

$$\int_S \left(\vartheta \frac{\partial \chi}{\partial n} - \chi \frac{\partial \vartheta}{\partial n} \right) ds = \int_{-H}^0 \left(\vartheta \frac{\partial \chi}{\partial x} - \chi \frac{\partial \vartheta}{\partial x} \right) \Big|_{x=-\infty} dy. \quad (5.1)$$

В качестве функций ϑ и χ можно выбрать различные пары φ_j , а также их комплексно-сопряженные значения $\bar{\varphi}_j$. При $\vartheta = \varphi_j$, $\chi = \varphi_k$ согласно (5.1) имеет место условие симметрии коэффициентов присоединенных масс и демпфирования

$$\mu_{jk} = \mu_{kj}, \quad \lambda_{jk} = \lambda_{kj} \quad (j, k = 1, 2). \quad (5.2)$$

Используя значения $\vartheta = \varphi_j$, $\chi = \bar{\varphi}_k$ в (5.1), получаем связь между коэффициентами демпфирования и характеристиками волн в дальнем поле

$$\lambda_{kj} = \frac{\rho\omega\Lambda_0}{k_0 \operatorname{sh}^2(k_0 H)} E_k \bar{E}_j. \quad (5.3)$$

Из соотношения (5.3) следует, что диагональные коэффициенты демпфирования всегда имеют положительные значения.

6. Результаты численных расчетов. При численном решении рассматриваемой задачи используется метод редукции. В бесконечных рядах по m и n в (3.1), (3.4), (4.1), (4.2) учитываются только M и N первых членов соответственно. В проведенных расчетах использовались значения $M = 7$, $N = 15$, дальнейшее увеличение этих значений не приводило к изменению первых трех значащих цифр в результатах. Все расчеты выполнены при $h = 2a$.

На рис. 1, 2 представлены зависимости соответственно безразмерных значений коэффициентов присоединенной массы $M_{jk} = \mu_{jk}/(\pi\rho a^2)$ и демпфирования $L_{jk} = \lambda_{jk}/(\pi\rho a^2\omega)$ от частоты колебаний цилиндра при $H = 10a$. Известно, что присоединенные массы любого погруженного тела, колеблющегося под бесконечно протяженной твердой крышкой, не зависят от частоты, а все коэффициенты демпфирования тождественно равны нулю [2]. При этом для кругового цилиндра отличными от нуля являются только значения μ_{11}

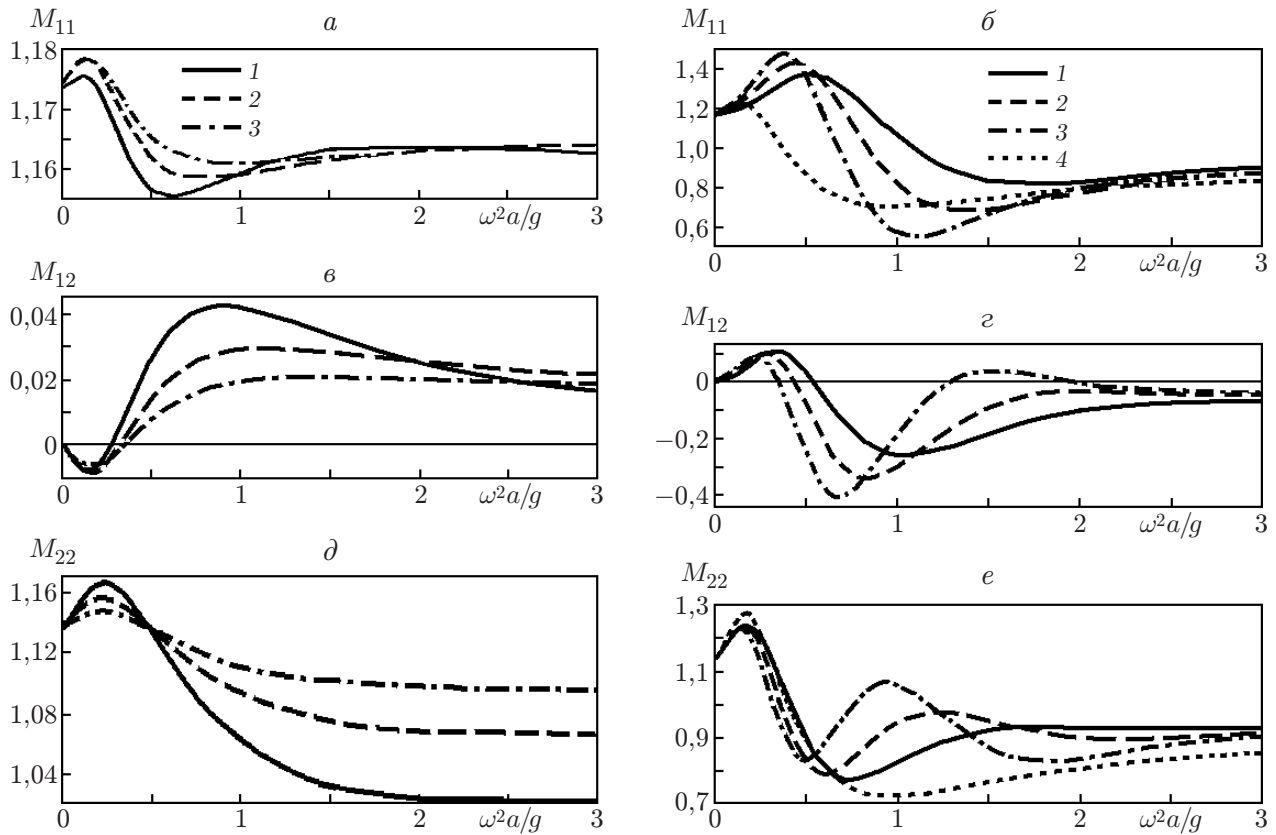


Рис. 1. Зависимости коэффициентов присоединенной массы M_{11} (а, б), M_{12} (в, г), M_{22} (д, е) от частоты при $H/a = 10$:

а, в, д — случай 1 (1 — $c/a = -1,05$; 2 — $c/a = -1,5$; 3 — $c/a = -2$), б, г, е — случай 2 (1 — $c/a = 1,05$; 2 — $c/a = 1,5$; 3 — $c/a = 2$), 4 — случай бесконечно протяженной свободной поверхности

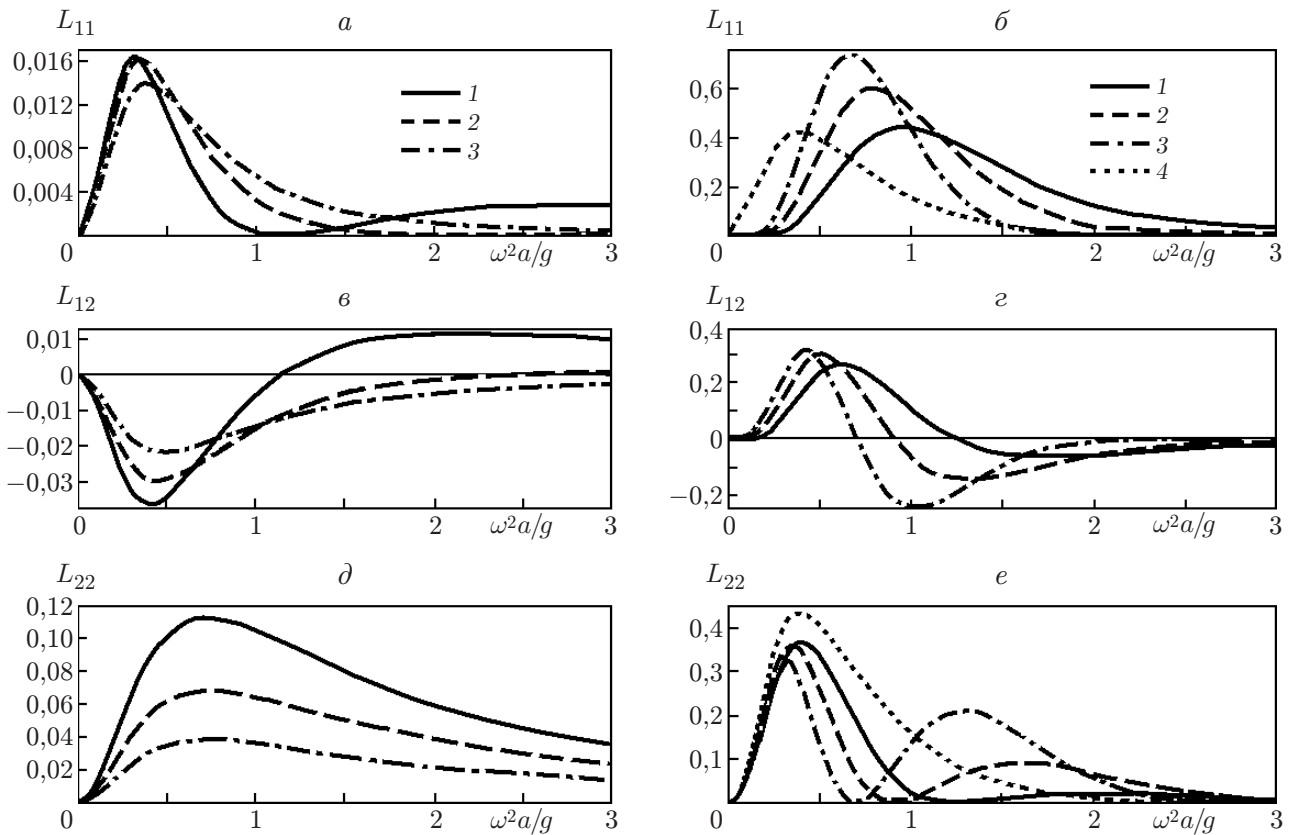


Рис. 2. Зависимости коэффициентов демпфирования L_{11} (а, б), L_{12} (в, г), L_{22} (д, е) от частоты при $H/a = 10$ (обозначения те же, что на рис. 1)

и μ_{22} . На рис. 1 этим значениям соответствуют значения $M_{11} \approx 1,1743$, $M_{22} \approx 1,1361$, являющиеся предельными для всех рассмотренных случаев при низких частотах колебаний тела ($\omega \rightarrow 0$). Для кругового цилиндра, находящегося под бесконечно протяженной свободной поверхностью, наиболее полные расчеты радиационной задачи проведены в [3] для слоя жидкости большой толщины. В этой задаче коэффициенты радиационной нагрузки существенно зависят от частоты, и ненулевые значения имеют только компоненты τ_{11} и τ_{22} . Следует отметить, что зависимости коэффициентов присоединенной массы от частоты всегда имеют два локальных экстремума, а зависимости коэффициентов демпфирования от частоты — один локальный максимум. Значительно более сложный характер имеют зависимости радиационной нагрузки от частоты при неоднородных условиях на верхней границе жидкости. Появляются отличные от нуля недиагональные коэффициенты, а значения диагональных коэффициентов существенно отличаются от соответствующих значений в случае однородных граничных условий. Число локальных экстремумов на кривых зависимостей от частоты коэффициентов как присоединенной массы, так и демпфирования определяется значением параметра s , характеризующего расстояние от цилиндра до левого края твердой крышки. Интересной особенностью поведения диагональных коэффициентов демпфирования является возникновение в случае 2 локальных минимумов, при которых эти коэффициенты имеют практически нулевые значения. Согласно соотношению эквивалентности (5.3) при этих частотах амплитуда волны в дальнем поле очень мала. В случае 1 влияние неоднородных граничных условий на все компоненты радиационной нагрузки уменьшается по мере удаления цилиндра от края твердой крышки.

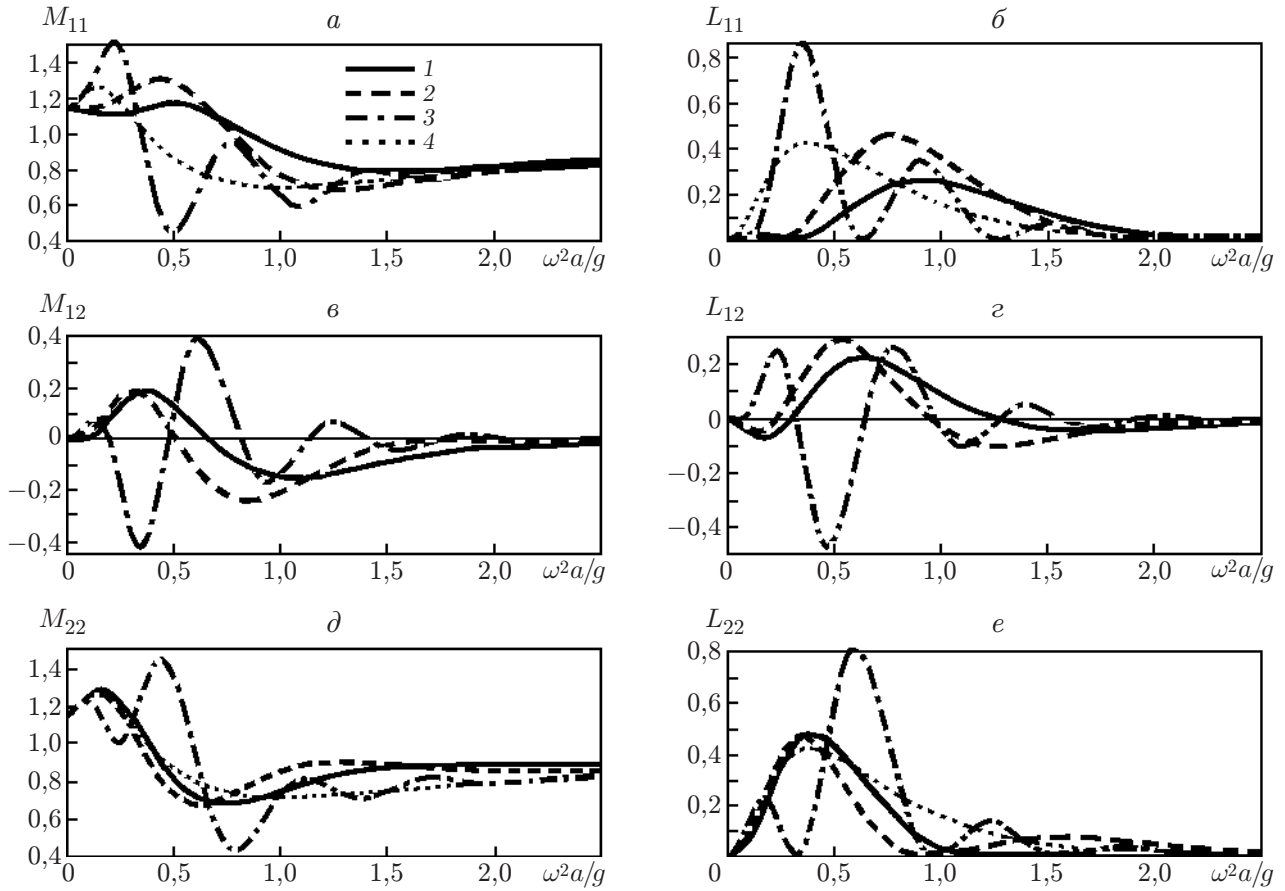


Рис. 3. Зависимости коэффициентов присоединенной массы M_{11} (а), M_{12} (в), M_{22} (д) и демпфирования L_{11} (б), L_{12} (г), L_{22} (е) от частоты для случая 2 при $H/a = 50$:
 1 — $c/a = 1,05$; 2 — $c/a = 1,5$; 3 — $c/a = 5$; 4 — случай бесконечно протяженной свободной поверхности

На рис. 3 приведена зависимость коэффициентов присоединенной массы и демпфирования от частоты в случае 2 при $H = 50a$. Для бесконечно протяженной твердой крышки $M_{11} \approx 1,1361$ и $M_{22} \approx 1,1346$ (см. рис. 3, а, д). Для бесконечно протяженной свободной поверхности с увеличением толщины слоя жидкости коэффициенты τ_{11} и τ_{22} становятся близкими по значению и в случае бесконечно глубокой жидкости ($H \rightarrow \infty$) совпадают. Однако этого не происходит при неоднородных граничных условиях, которые также оказывают существенное влияние на максимальные значения коэффициентов радиационной нагрузки.

На рис. 4, а, б представлены амплитуды возвышений свободной поверхности $|E_1|$, $|E_2|$, определенные согласно (4.5), в области $|x|/a \leq 5$ при $H = 50a$, $c = 5a$ и $\omega^2 a/g = 0,32$; $0,64$ соответственно. Выбранные значения частот интересны тем, что при $\omega^2 a/g = 0,32$ мало значение L_{22} ($L_{22} \approx 0,00021$), а при $\omega^2 a/g = 0,64$ — значение L_{11} ($L_{11} \approx 0,00053$). Для сравнения показаны значения амплитуд возвышений в случае безграничной свободной поверхности. В этом случае амплитуды являются четными по x функциями и для рассматриваемой толщины слоя жидкости при горизонтальных и вертикальных колебаниях кругового контура практически совпадают в дальнем поле. Видно, что при наличии твердой крышки поведение свободной поверхности существенно отличается от ее поведе-

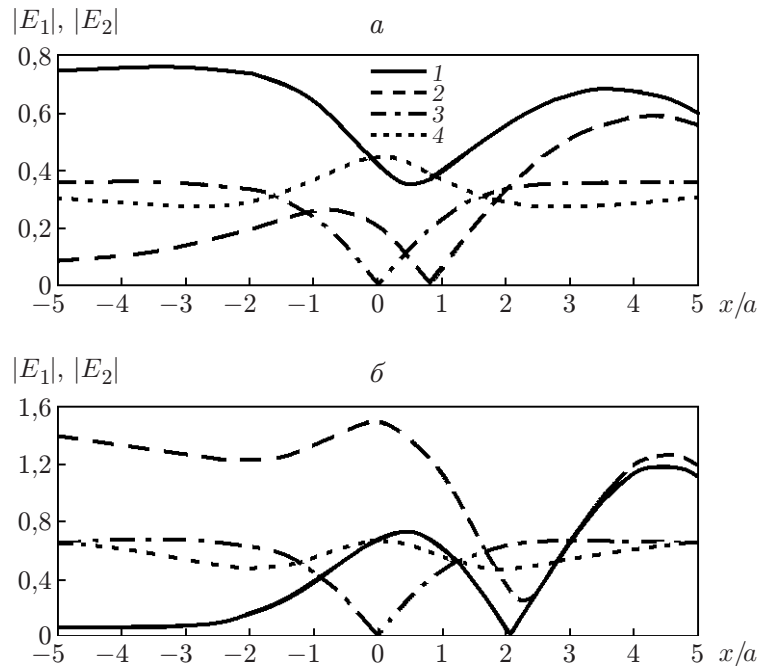


Рис. 4. Амплитуды возвышений свободной поверхности при $H/a = 50$:
 а — $\omega^2 a/g = 0,32$, б — $\omega^2 a/g = 0,64$; 1, 3 — $|E_1|$, 2, 4 — $|E_2|$; 1, 2 — $c/a = 5$,
 3, 4 — случай бесконечно протяженной свободной поверхности

ния в случае отсутствия крышки. Соотношения эквивалентности (5.2), (5.3) выполняются с относительной погрешностью, не превышающей 0,01 %.

Заключение. Предложен метод расчета волнового течения, вызванного малыми колебаниями кругового цилиндра, погруженного в жидкость, свободная поверхность которой частично закрыта твердой крышкой. Определены гидродинамические нагрузки, действующие на цилиндр, и амплитуды возвышений свободной поверхности. Показано, что волновые движения существенно зависят от положения цилиндра относительно кромки твердой крышки. Выведены соотношения эквивалентности, из которых следует симметрия коэффициентов присоединенных масс и демпфирования, а также связь коэффициентов демпфирования с амплитудами волн в дальнем поле. Предложенный метод может быть распространен на случаи более сложных неоднородностей на верхней границе жидкости, например на случай плавающей упругой пластины полубесконечной или конечной протяженности.

ЛИТЕРАТУРА

1. Linton С. М. Handbook of mathematical techniques for wave/structure interactions / С. М. Linton, Р. McIver. L.; Boca Raton: Chapman and Hall: CRC Press, 2001.
2. Короткин А. И. Присоединенные массы судостроительных конструкций: Справ. СПб.: Мор. вестн., 2007.
3. Eatock Taylor R., Hu С. S. Multipole expansions for wave diffraction and radiation in deep water // Ocean Engng. 1991. V. 18, N 3. P. 191–224.